

# 激光谐振腔内光的模拟

Simulation of optical field in laser resonators cavity

刘光成<sup>1</sup>

School of Physics and Technology  
Wuhan University

激光原理, May 2022

# 目录

## 菲涅耳-基尔霍夫衍射公式

- 基尔霍夫衍射公式推导

- 你未必真的懂惠更斯-菲涅耳原理

## 数值模拟

- Fox-Li Method

- 演化过程

- 方形孔径的自再现数值模拟

- 平面镜自再现数值模拟

- Prony's method

# Fresnel-Kirchoff's diffraction Formula

## 惠更斯原理

首先单色激光的标量场可以写为 (满足波动方程  $\nabla^2 V = \frac{1}{c^2} \frac{\partial^2 V}{\partial t^2}$ ):

$$V(x, y, z, t) = U(x, y, z) e^{-i\omega t} = U(x, y, z) e^{-ikct} \quad (1)$$

其中空间场部分满足 Helmholtz 方程:

$$(\nabla^2 + k^2) U(x, y, z) = 0 \quad (2)$$

接下来要用到一个恒等式”格林第二恒等式”

那首先先介绍一下”格林第一恒等式”

设定向量场  $\mathbf{F} = \psi \nabla \phi$ ; 其中, 在  $\mathbb{R}^3$  的某区域  $\mathbb{U}$  内  $\phi$  是二次连续可微标量函数,  $\psi$  是一次连续可微标量函数  
则有 (由高斯定理)

$$\int_{\mathbb{U}} (\psi \nabla^2 \phi + \nabla \phi \cdot \nabla \psi) dV = \oint_{\partial \mathbb{U}} \psi \frac{\partial \phi}{\partial n} dS \quad (3)$$

则交换  $\psi, \phi$  的位置得到对称的式子且将两式相减即可得到“格林第二恒等式”

$$\int_{\mathbb{U}} (\psi \nabla^2 \phi - \phi \nabla^2 \psi) dV = \oint_{\partial \mathbb{U}} (\psi \frac{\partial \phi}{\partial n} - \phi \frac{\partial \psi}{\partial n}) dS \quad (4)$$

将  $\phi = U', \psi = U$  代入

$$\iiint_v (U \nabla^2 U' - U' \nabla^2 U) dV = - \iint_S (U \frac{\partial U'}{\partial n} - U' \frac{\partial U}{\partial n}) dS \quad (5)$$

若  $U'$  也满足 Helmholtz 方程 (2) 式则 (5) 式左边为 0, 我们考虑惠更斯定理 (Huygens-Fresnel principle) 其必定有个解为  $e^{ikr}/r$  代入右边得到:(其中  $r$  是点源  $P$  到空间中任意一点  $(x, y, z)$  的距离)

$$\iint_S (U \frac{\partial (e^{ikr}/r)}{\partial n} - (\frac{e^{ikr}}{r}) \frac{\partial U}{\partial n}) dS = 0 \quad (6)$$

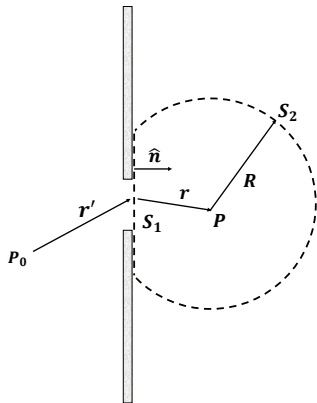
而由于  $e^{ikr}/r$  有一个奇点, 以上的面积分需要分为两部分包含奇点  $P$  的一个无穷小球面  $S$  以及除  $S$  以外的面  $S'$  即有:

$$\begin{aligned}
 & \left\{ \iint_S + \iint_{S'} \right\} \left[ U \frac{\partial(e^{ikr}/r)}{\partial n} - \left( \frac{e^{ikr}}{r} \right) \frac{\partial U}{\partial n} \right] dS = 0 \\
 & \Rightarrow \iint_S \left( U \frac{\partial(e^{ikr}/r)}{\partial n} - \left( \frac{e^{ikr}}{r} \right) \frac{\partial U}{\partial n} \right) dS \\
 & = - \lim_{\epsilon \rightarrow 0} \iint_{\Omega} \left( U \frac{e^{ik\epsilon}}{\epsilon} \left( ik - \frac{1}{\epsilon} \right) - \frac{e^{ik\epsilon}}{\epsilon} \frac{\partial U}{\partial n} \right) \epsilon^2 d\Omega = 4\pi U
 \end{aligned} \tag{7}$$

而基尔霍夫衍射公式可以从上式的积分中得到  
 假设波源为有限尺寸, 位于曲面  $\mathbb{S}$  的波扰表达为  $U_0(\mathbf{r}')$ , 则位于点  $P$  的波扰为

$$U(\mathbf{r}) = \frac{1}{4\pi} \int_S \left[ U_0(\mathbf{r}') \frac{\partial(e^{ikr}/r)}{\partial n} - \left( \frac{e^{ikr}}{r} \right) \frac{\partial U_0(\mathbf{r}')}{\partial n} \right] \tag{8}$$

# Fresnel-Kirchoff diffraction by a plane screen



化简 (8) 并令  $G = e^{ikR}/R$  可以得到:

$$U(P) = \frac{1}{4\pi} \int_{S_2} (U_0(ikG) - G \frac{\partial U_0}{\partial n}) dS \quad (9)$$

由索墨菲辐射条件得到<sup>[1]</sup>:

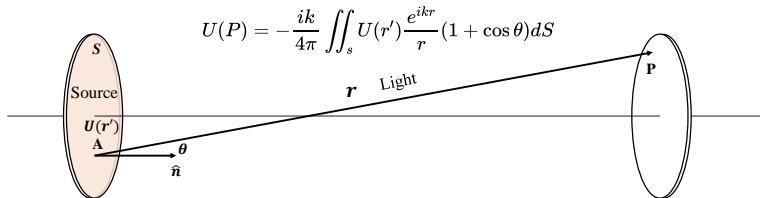
$$\lim_{R \rightarrow \infty} R(ikU - \frac{\partial U}{\partial n}) = 0 \quad (10)$$

则  $S_2$  表面的积分贡献为 0 另外对于  $S_1$  表面, 除了孔径的地方其余地方的  $U, \frac{\partial U}{\partial n}$  均为 0

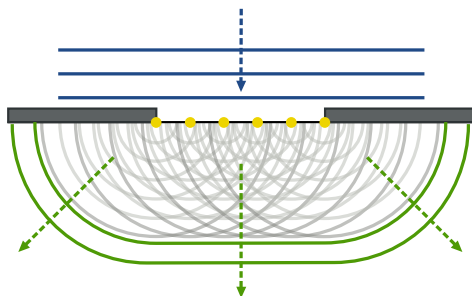
假设  $U_0(\mathbf{r}')$  处具有良好的方向性则  $U_0(\mathbf{r}') = u(r')e^{ikr'}$  代入上式最终得到:

$$U(r) = -\frac{ik}{2\pi} \iint_{S_1} u(r') \frac{e^{ikr}}{r} K(\theta) dS \quad (11)$$

其中  $K(\theta) = \frac{\cos(\theta)+1}{2}$  为倾斜因子 (Obliquity Factor),  $r$  是目标点距离点源的位置而上式也正是惠更斯-菲涅耳原理的数学形式最终得到以下公式:



# 惠更斯-菲涅耳原理 (Huygens-Fresnel Principle)



惠更斯-菲涅耳原理

波前的每一点发出次波，这些次波互相干涉，叠加形成新的波前  
这个原理好像很自然那他有什么更深层的含义呢？

重写一下 Huygens-Fresnel Principle

$$U(x, y) = \int_S K(x, y; x', y') U(x', y') dS \quad (12)$$



上面方程的形式特别像量子力学中费曼提出的路径积分的形式  
通过初始的波函数得到最终的波函数:

$$\psi(\mathbf{r}', t') = \int d^3\mathbf{r} K(\mathbf{r}, t, \mathbf{r}', t') \psi(\mathbf{r}, t) \quad (13)$$

其中 Kernel 函数为:

$$K(\mathbf{r}, t, \mathbf{r}', t') = \langle \mathbf{r} | \exp(-iH(t' - t)/\hbar) | \mathbf{r}' \rangle \quad (14)$$

对比一下惠更斯-菲涅尔衍射公式的 Kernel 函数:

$$K(x, y; x', y') = -\frac{ik}{4\pi} \frac{\exp(ik\rho(x, y; x', y'))}{\rho(x, y; x', y')} (1 + \cos \theta) \quad (15)$$

现在看着很不像是吧, 让我们接着往下看

# PHOTON PROPAGATOR

先将电磁场二次量子化:

$$\hat{H} = \frac{1}{2}(\hat{p}^2 + w^2 \hat{q}) \quad (16)$$

计算出来的传播子为:

$$\langle q_F | \exp(-i\hat{H}t/\hbar) | q_I \rangle = \left( \frac{w}{2\pi i \hbar \sin wt} \right)^{\frac{1}{2}} e^{(\frac{i}{2\hbar} w [(q_I^2 + q_F^2) \cos wt - \frac{2q_I q_F}{\sin wt}])} \quad (17)$$

则经过时间  $t$  演化后的波函数为:

$$\psi(q_F, t) = \left( \frac{w}{2\pi i \hbar \sin wt} \right)^{\frac{1}{2}} \int_R \psi(q_I, 0) \times e^{(\frac{i}{2\hbar} w [(q_I^2 + q_F^2) \cos wt - \frac{2q_I q_F}{\sin wt}])} dq_I \quad (18)$$

下面我们做一些参数变换:

$$\rho^2 = \frac{w}{2\pi \hbar} q_I^2, \sigma^2 = \frac{w}{2\pi \hbar} q_F^2 \quad (19)$$

最后得到 (这个变换形式也被称为分数傅里叶变换 (FRFT)<sup>[2]</sup>)

$$\Psi(x_F, z) = \left(\frac{i}{\lambda z}\right)^{\frac{1}{2}} \exp\left(-\frac{ik}{2z}x_F^2\right) \int_{\Sigma} \exp\left(-\frac{ik}{2z}x_I^2\right) \exp\left(\frac{ik}{z}x_I x_F\right) \psi(x_I, 0) dx_I \quad (20)$$

其中  $x_I^2 = \frac{\alpha}{m_\lambda} q_I^2$ ,  $x_F^2 = \frac{\alpha}{m_\lambda} q_F^2$  而  $m_\lambda$  为等效质量为  $m_\lambda = \frac{\hbar k}{c}$   
对比一下一维的夫琅禾费衍射公式:

$$U(x) = \sqrt{\frac{i}{\lambda z}} e^{ikz} \int_{\Sigma} u(x') \exp(-ik(x-x')^2/2z) dx' \quad (21)$$

发现两者完全一致具体的推导过程见<sup>[3]</sup>: Santos E A, Castro F, Torres R. Huygens-Fresnel principle: Analyzing consistency at the photon level[J]. Physical Review A, 2018, 97(4): 043853.

另一方面惠更斯-菲涅耳原理也是奇数维空间的必然结果<sup>[4]</sup>

由于是数值求解我们可以直接从定义出发:

$$U(x, y) = \frac{ik}{4\pi} \iint_s U(x', y') \frac{e^{-ik\rho}}{\rho} (1 + \cos \theta) dS \quad (22)$$

---

**Algorithm 1** Calculate Self Consistent Mode  $U$

---

**Require:** The initial distribution  $U_0$ (Matrix)

**Ensure:**  $U$

Define the mesh  $L_x, L_y, dx, dy$

**for**  $m$  **to** number of iterations **do**

$$\rho = \sqrt{((i - i')dx)^2 + ((j - j')dy)^2 + L^2}$$

$$U_{m+1}[i'][j'] = \frac{ik}{4\pi} \sum_{i,j} U_m[i][j] \frac{e^{-ik\rho(i,i',j,j')}}{\rho(i,i',j,j')} (1 + \cos \theta)$$

$$U_{m+1} = U_{m+1} / (\text{MAX}(U_{m+1}))$$

$$m \leftarrow m + 1$$

**end for**

---

首先最简单的我们将正方形平面镜网格化 (初始化)

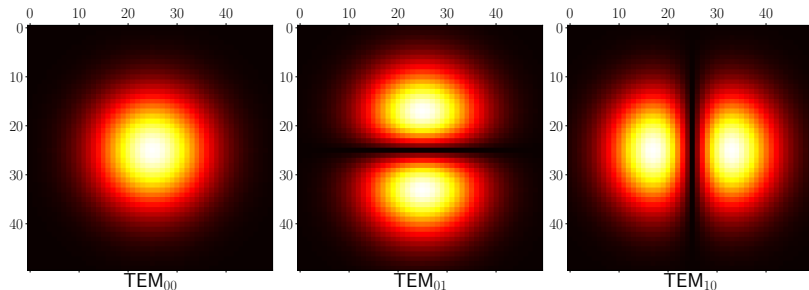
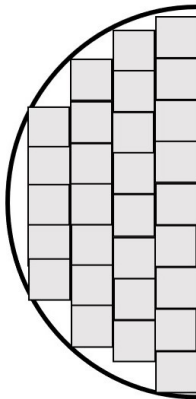


Figure: 其中取  $x, y$  方向网格为 50 个, 取  $a = 25\lambda, L = 100\lambda, a^2/L\lambda = 6.25$  对应的 2500 个网格

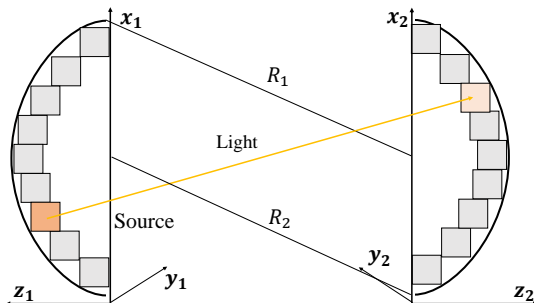


利用同样的方法, 我们可以修改反射平面镜的形状, 通过生成网格的限制, 每次迭代后将不在平面镜范围内的值设置为 0 即可

当然为了实现自再现的数值模拟, 我们不得不将二维平面拓展到三维, 当然每个网格储存的信息不再是  $x, y$  而是要存储一个三维的信息 (三维的张量)

# 方形孔径共焦腔的自再现数值模拟

此处建网格是立体的网格,  $x$  方向与  $y$  方向相同



通过此我们也可以写出相关的伪代码, 并执行算法

---

**Algorithm 2** Calculate Self-reproductive Mode  $U$ 

---

**Require:** The initial distribution  $U_0$ (Matrix)

**Ensure:**  $U$

Define the mesh  $L_x, L_y, L_z, dx, dy, dz$   
and select by the radius( $R_1 = R_2 = L$ )

**for** m **to** number of iterations **do**

$$\rho = \sqrt{((i - i')dx)^2 + ((j - j')dy)^2 + ((k + k' + L)dz)^2}$$

此处的  $\cos \theta = \frac{\sqrt{((i - i')dx)^2 + ((j - j')dy)^2}}{\rho}$

$$U_{m+1}[i'][j'][k'] = \frac{ik}{4\pi} e^{-ik(x)} \sum_{i,j,k} U_m[i][j][k] \frac{e^{-ik\rho(i,i',j,j',k,k')}}{\rho(i,i',j,j',k,k')} (1 + \cos \theta)$$

$$U_{m+1} = U_{m+1} / (\text{MAX}(U_{m+1}))$$

Set the value zeros of mesh that outside the radius

$$m \leftarrow m + 1$$

**end for**

---



# 平面镜自再现模式

一般来说  $L \gg a, a \gg \lambda$

平面镜的  $z$  变化相比  $L$  来说微乎其微, 故我们不考虑  $z$  方向的变化, 而  $x, y$  方向的场强对称我们可以只考虑单一方向上的光强变化

$$U_{i+1}(x) = \sqrt{\frac{i}{L\lambda}} e^{-ikL} \int_{-a}^a dx' U_i(x') e^{-ik(x-x')^2/2L} \quad (23)$$

然后归一化  $U$  故:

$$\tilde{U}_i(x) = U_i(x) / \text{MAX}(U_i(x)) \quad (24)$$

通过反复迭代即可得到最终的最低模式 (自再现模式)

这个方法的本质就是解矩阵的本征值与量子力学的本质问题一样  
回过头来看一下基尔霍夫衍射公式:

$$u(r) = \frac{ik}{4\pi} \iint_{S_1} u(r') \frac{e^{-ikr}}{r} (1 + \cos \theta) dS \quad (25)$$

本质就是  $\vec{u}$  向量之间的变换, 对于一维的向量

$$\begin{bmatrix} u_1 \\ \vdots \\ u_n \end{bmatrix} = \begin{bmatrix} A_{11} & \cdots & A_{1n} \\ \vdots & \ddots & \vdots \\ A_{n1} & \cdots & A_{nn} \end{bmatrix} \begin{bmatrix} u'_1 \\ \vdots \\ u'_n \end{bmatrix} \quad (26)$$

记从镜 1 到镜 2 的传播矩阵为  $A_{12}$  则传播回到原处的总的传播矩阵为  $A = A_{21}A_{12}$

故最终的稳定模式就是对应的本征向量, 而对应的损耗也就是对应的本征值

- [1] A. Sommerfeld, "Die greensche funktion der schwingungsgleichung," *J.-Ber. Deutsch Math.-Verein*, vol. 21, pp. 309–353, 1912.
- [2] M. A. Kutay and H. M. Ozaktas, "The fractional fourier transform and harmonic oscillation," *Nonlinear Dynamics*, vol. 29, no. 1, pp. 157–172, 2002.
- [3] E. A. Santos, F. Castro, and R. Torres, "Huygens-fresnel principle: Analyzing consistency at the photon level," *Physical Review A*, vol. 97, no. 4, p. 043853, 2018.
- [4] "<https://www.mathpages.com/home/kmath242/kmath242.htm>," <https://www.mathpages.com/home/kmath242/kmath242.htm>, (Accessed on 05/19/2022).
- [5] A. G. Fox and T. Li, "Resonant modes in a maser interferometer," *Bell System Technical Journal*, vol. 40, no. 2, pp. 453–488, 1961.
- [6] A. E. Siegman and H. Miller, "Unstable optical resonator loss calculations using the prony method," *Applied optics*, vol. 9, no. 12, pp. 2729–2736, 1970.